

## I.

Пусть электрическое поле обладает циркулярной поляризацией в плоскости  $xy$ :

$$\mathbf{F}(t) = F \begin{pmatrix} \sin \omega t \\ \cos \omega t \\ 0 \end{pmatrix}. \quad (1)$$

На рис. 1 изображен годограф вектора  $\mathbf{F}(t)$  в плоскости  $xy$  в интервале  $t \in (0, T)$ ,  $T = 2\pi/\omega$ .

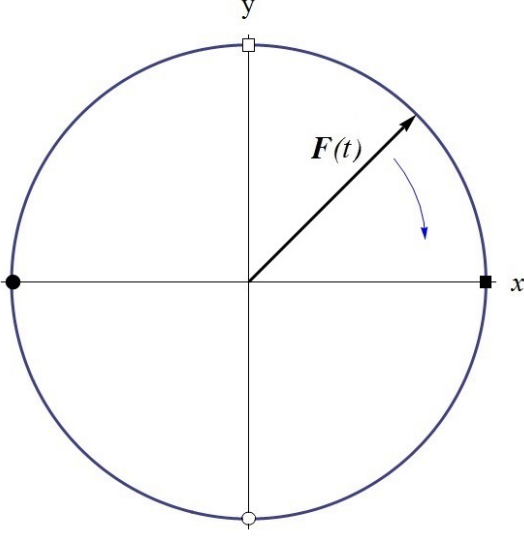


Рис. 1. Символы на графике обозначают следующие точки:  $\square$   $t = 0$ ,  $\blacksquare$   $t = T/4$ ,  $\circ$   $t = T/2$ ,  $\bullet$   $t = 3T/4$ .

## II.

Пусть траектория удовлетворяет следующим граничным условиям:

$$\mathbf{v}(t \rightarrow -\infty) = 0, \quad \mathbf{r}(t \rightarrow -\infty) = 0, \quad (2)$$

а поле задано следующим уравнением:

$$\mathbf{F}(t) = F e^{\gamma t} \begin{pmatrix} \sin \omega t \\ \cos \omega t \\ 0 \end{pmatrix}, \quad (3)$$

где  $\gamma$  - малый параметр. Найдём вид этой траектории в произвольный момент времени  $t$  после адиабатического включения поля. Скорость электрона:

$$\dot{\mathbf{v}} = -\mathbf{F}(t), \quad (4)$$

$$\mathbf{v}(t) = - \int_{-\infty}^t \mathbf{F}(t) dt. \quad (5)$$

Для  $x$ -компоненты:

$$-F \int_{-\infty}^t e^{\gamma t} \sin \omega t = F \frac{e^{\gamma t}}{\omega^2 + \gamma^2} (\omega \cos \omega t - \gamma \sin \omega t) \Big|_{-\infty}^t = \frac{F}{\omega} \cos \omega t \quad (6)$$

в пределе  $\gamma \rightarrow 0$ . Аналогично,

$$-F \int_{-\infty}^t e^{\gamma t} \cos \omega t = -\frac{F}{\omega} \sin \omega t. \quad (7)$$

Таким образом,

$$\mathbf{v}(t) = \frac{F}{\omega} \begin{pmatrix} \cos \omega t \\ -\sin \omega t \\ 0 \end{pmatrix}, \quad (8)$$

Зависимость координаты от времени:

$$\mathbf{r}(t) = \int_{-\infty}^t \mathbf{v}(t) dt. \quad (9)$$

Для  $x$ -компоненты:

$$\begin{aligned} \frac{F}{\omega^2 + \gamma^2} \int_{-\infty}^t e^{\gamma t} (\omega \cos \omega t - \gamma \sin \omega t) = \\ \frac{F\omega}{\omega^2 + \gamma^2} \frac{e^{\gamma t}}{\omega^2 + \gamma^2} (\gamma \cos \omega t + \omega \sin \omega t) \Big|_{-\infty}^t + \\ \frac{F\gamma}{\omega^2 + \gamma^2} \frac{e^{\gamma t}}{\omega^2 + \gamma^2} (\omega \cos \omega t - \gamma \sin \omega t) \Big|_{-\infty}^t = \frac{F}{\omega^2} \sin \omega t \end{aligned} \quad (10)$$

в пределе  $\gamma \rightarrow \infty$ ;  $y$ -компонента:

$$\begin{aligned} -\frac{F}{\omega^2 + \gamma^2} \int_{-\infty}^t e^{\gamma t} (\omega \sin \omega t + \gamma \cos \omega t) = \\ -\frac{F\omega}{\omega^2 + \gamma^2} \frac{e^{\gamma t}}{\omega^2 + \gamma^2} (\gamma \sin \omega t - \omega \cos \omega t) \Big|_{-\infty}^t + \\ -\frac{F\gamma}{\omega^2 + \gamma^2} \frac{e^{\gamma t}}{\omega^2 + \gamma^2} (\gamma \cos \omega t + \omega \sin \omega t) \Big|_{-\infty}^t = \frac{F}{\omega^2} \sin \omega t. \end{aligned} \quad (11)$$

Таким образом, реперная траектория имеет вид

$$\mathbf{r}(t) = \frac{F}{\omega^2} \begin{pmatrix} \sin \omega t \\ \cos \omega t \\ 0 \end{pmatrix}, \quad \mathbf{v}(t) = \frac{F}{\omega} \begin{pmatrix} \cos \omega t \\ -\sin \omega t \\ 0 \end{pmatrix}. \quad (12)$$

Такая траектория соответствует движению электрона по окружности, и ее удобно принять за референтную.

Найдем квадрат вектора  $\mathbf{u}_i(t, t')$ , используя  $\text{frp}(21a)$ :

$$\mathbf{u}_i(t, t') = \mathbf{v}(t') - \frac{\mathbf{r}(t) - \mathbf{r}(t')}{t - t'}, \quad (13)$$

$$\mathbf{u}_i(t, t') = \frac{F}{\omega} \begin{pmatrix} \cos \omega t' \\ -\sin \omega t' \\ 0 \end{pmatrix} - \frac{F}{\omega^2(t - t')} \begin{pmatrix} \sin \omega t - \sin \omega t' \\ \cos \omega t - \cos \omega t' \\ 0 \end{pmatrix}, \quad (14)$$

$$\mathbf{u}_i^2(t, t') = \frac{F^2}{\omega^2} \left[ 1 - \frac{2}{\xi} \sin \xi + \frac{2}{\xi^2} [1 - \cos \xi] \right]. \quad (15)$$

Здесь  $\xi = \omega(t - t')$ .

Найдем нули правой части (15):

$$\xi^2 - 2\xi \sin \xi - 2 \cos \xi + 2 = 0. \quad (16)$$

Представим тригонометрические функции в экспоненциальной форме:

$$\xi^2 + i\xi(e^{i\xi} - e^{-i\xi}) - (e^{i\xi} + e^{-i\xi}) + 2 = 0. \quad (17)$$

Упростим:

$$e^{2i\xi}(i\xi - 1) + e^{i\xi}(\xi^2 + 2) - i\xi - 1 = 0. \quad (18)$$

Изобразим некоторые решения данного уравнения. Пусть  $\xi = x + iy$ , а  $f(\xi)$  обозначает левую часть уравнения (18). Изобразим на плоскости линии уровня  $\text{Re}[f(\xi)] = 0$  и  $\text{Im}[f(\xi)] = 0$ . Точки пересечений являются корнями уравнения (18).

Точным решением (18) являются

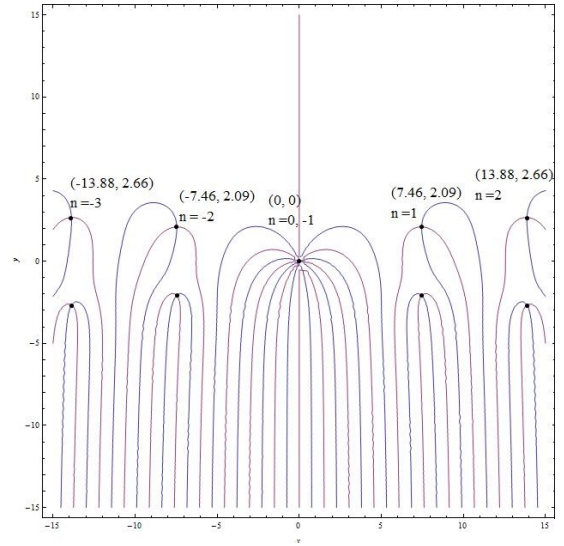
$$\xi = -i(W_n(-1/e) + 1), \quad n \in Z, \quad (19a)$$

$$\xi = i(W_m(-1/e) + 1), \quad m \in Z. \quad (19b)$$

Здесь  $W_n$  — функция Ламберта, определяемая функциональным уравнением  $z = W(z)e^{W(z)}$ .

Решение, ближайшее к нулю в 4м квадранте обозначим за  $\xi_0$ :

$$\xi_0 \approx -7.461 - 2.089i. \quad (20)$$



Пусть  $t' = 0$ . Значение компонент вектора  $\mathbf{u}_i(t, t')$ :

$$\mathbf{u}_i(t, t') = \frac{F}{\omega} \begin{pmatrix} 0.476 - 0.057i \\ -0.057 - 0.476i \\ 0 \end{pmatrix}. \quad (21)$$

Найдем также  $\mathbf{u}_f(t, t')$ :

$$\mathbf{u}_f(t, t') = \mathbf{v}(t) - \frac{\mathbf{r}(t) - \mathbf{r}(t')}{t - t'}, \quad (22)$$

$$\mathbf{u}_f(t, t') = \frac{F}{\omega} \begin{pmatrix} \cos \omega t \\ -\sin \omega t \\ 0 \end{pmatrix} - \frac{F}{\omega^2(t - t')} \begin{pmatrix} \sin \omega t - \sin \omega t' \\ \cos \omega t - \cos \omega t' \\ 0 \end{pmatrix}. \quad (23)$$

Численное значение компонент вектора:

$$\mathbf{u}_f(t, t') = \frac{F}{\omega} \begin{pmatrix} 1.046 - 3.731i \\ 3.731 + 1.046i \\ 0 \end{pmatrix}. \quad (24)$$

Произведение  $\mathbf{u}_i(t, t')\mathbf{F}(t')$ :

$$\mathbf{u}_i(t, t')\mathbf{F}(t') = \frac{F^2}{\omega} (-0.057 - 0.476i). \quad (25)$$

### III.

Скорость электрона, ионизированного в момент времени  $t_i$ , определяется следующим уравнением движения

$$\dot{\mathbf{u}}(t) = -\mathbf{F}(t) \quad (26)$$

с начальным условием

$$\mathbf{u}(t_i) = 0. \quad (27)$$

Для уравнения (26) с начальным условием (27) решением является

$$\mathbf{u}(t) = \frac{F}{\omega} \begin{pmatrix} \cos \omega t - \cos \omega t_i \\ -\sin \omega t + \sin \omega t_i \\ 0 \end{pmatrix}. \quad (28)$$

Обозначим за  $\mathbf{k}_a(t_i)$  скорость этого электрона после адиабатического выключения поля,

$$\mathbf{k}_a(t_i) = \mathbf{u}(t \rightarrow \infty). \quad (29)$$

В случае описанного выше циркулярно поляризованного поля:

$$\mathbf{k}_a(t_i) = -\lim_{\epsilon \rightarrow 0} \int_{t_i}^{\infty} \mathbf{F}(t) e^{-\epsilon t} dt, \quad (30)$$

$$\mathbf{k}_a(t_i) = \frac{F}{\omega} \begin{pmatrix} -\cos \omega t_i \\ \sin \omega t_i \\ 0 \end{pmatrix}. \quad (31)$$

Здесь параметр  $\epsilon$  отвечает темпу адиабатического выключения поля. Годограф вектора  $\mathbf{k}_a(t_i)$  изображен на рис. 2.

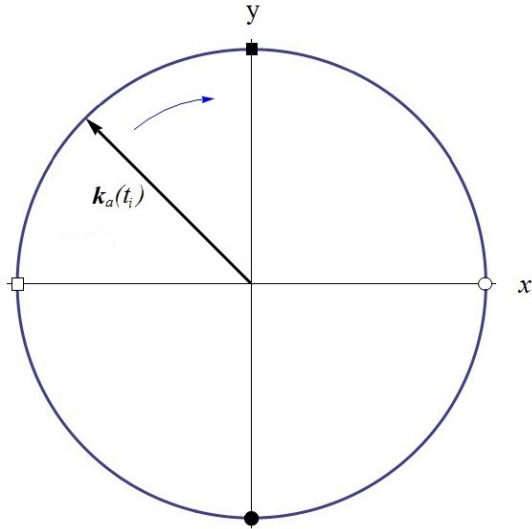


Рис. 2. Символы на графике обозначают следующие точки:  $\square$   $t_i = 0$ ,  $\blacksquare$   $t_i = T/4$ ,  $\circ$   $t_i = T/2$ ,  $\bullet$   $t_i = 3T/4$ .

#### IV.

Рассмотрим электрон, начавший движение в поле  $\mathbf{F}(t)$  из точки  $\mathbf{q}(t_i) = 0$  со скоростью  $\mathbf{u}_i$ .

$$\dot{\mathbf{u}}(t) = -\mathbf{F}(t), \quad \dot{\mathbf{q}}(t) = \mathbf{u}(t) \quad (32a)$$

$$\mathbf{u}(t_i) = \mathbf{u}_i, \quad \mathbf{q}(t_i) = 0 \quad (32b)$$

Решения этой системы уравнений:

$$\mathbf{u}(t) = \mathbf{u}_i + \frac{F}{\omega} \begin{pmatrix} \cos \omega t - \cos \omega t_i \\ -\sin \omega t + \sin \omega t_i \\ 0 \end{pmatrix}, \quad (33a)$$

$$\mathbf{q}(t) = \mathbf{u}_i \Delta t + \frac{F \Delta t}{\omega} \begin{pmatrix} -\cos \omega t_i \\ \sin \omega t_i \\ 0 \end{pmatrix} + \frac{F}{\omega^2} \begin{pmatrix} \sin \omega t - \sin \omega t_i \\ \cos \omega t - \cos \omega t_i \\ 0 \end{pmatrix}, \quad (33b)$$

где  $\Delta t = t - t_i$ . В этом случае

$$\mathbf{u}(t \rightarrow \infty) = \mathbf{u}_i + \mathbf{k}_a(t_i). \quad (34)$$

Для того, чтобы электрон вернулся в начальную точку в момент  $t$ , его начальная скорость  $\mathbf{u}_i$  должна быть равна:

$$\mathbf{u}_i(t, t_i) = \frac{F}{\omega} \begin{pmatrix} \cos \omega t_i \\ -\sin \omega t_i \\ 0 \end{pmatrix} - \frac{F}{\omega^2 \Delta t} \begin{pmatrix} \sin \omega t - \sin \omega t_i \\ \cos \omega t - \cos \omega t_i \\ 0 \end{pmatrix}. \quad (35)$$

Момент времени, в который произойдет возврат, выразим через начальный момент времени  $t_i$  из условия  $\text{frp}(85a)$ :

$$\mathbf{F}(t_i) \mathbf{u}_i(t, t_i) = 0. \quad (36)$$

Подставляем  $\mathbf{F}(t_i)$  и  $\mathbf{u}_i(t, t_i)$ , взятые из уравнений (1) и (35):

$$\begin{aligned} \sin \omega t_i [\omega \Delta t \cos \omega t_i - (\sin \omega t - \sin \omega t_i)] = \\ \cos \omega t_i [\omega \Delta t \sin \omega t_i + (\cos \omega t - \cos \omega t_i)]. \end{aligned} \quad (37)$$

При раскрытии скобок слагаемые с  $\omega \Delta t$  взаимно уничтожаются. Уравнение запишется в следующем виде:

$$-\sin \omega t_i (\sin \omega t - \sin \omega t_i) = \cos \omega t_i (\cos \omega t - \cos \omega t_i). \quad (38)$$

Равенство упрощается еще сильнее ввиду тождества  $\sin^2 \omega t_i + \cos^2 \omega t_i = 1$ :

$$\cos \omega t \cos \omega t_i + \sin \omega t \sin \omega t_i = 1, \quad (39)$$

$$\cos \omega \Delta t = 1. \quad (40)$$

Отсюда следует, что первый момент времени  $t = t_f$ , в который случится возврат:

$$t_f = t_i + T. \quad (41)$$

Подставив  $t = t_f$  в уравнение (35), найдем начальную скорость электрона:

$$\mathbf{u}_i = \mathbf{u}_i(t_f, t_i) = \frac{F}{\omega} \begin{pmatrix} \cos \omega t_i \\ -\sin \omega t_i \\ 0 \end{pmatrix} = -\mathbf{k}_a(t_i). \quad (42)$$

Таким образом  $\mathbf{u}(t \rightarrow \infty) = 0$ . Подставив  $t = t_f$  в уравнение (33а), найдем его конечную скорость  $\mathbf{u}_f$ :

$$\mathbf{u}_f = \mathbf{u}(t_f) = \mathbf{u}_i. \quad (43)$$

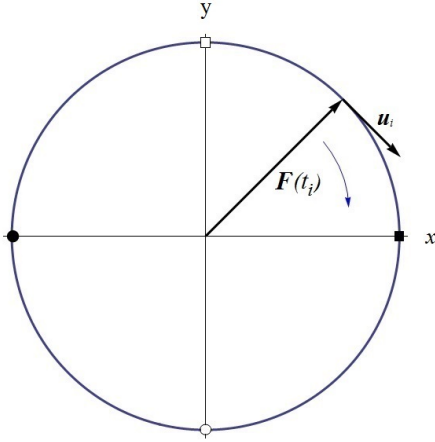


Рис. 3. На рисунке изображен годограф вектора  $\mathbf{F}(t_i)$  и вектор  $\mathbf{u}_i$ . Замкнутая траектория возможна в случае, когда  $\mathbf{F}(t_i)$  и  $\mathbf{u}_i$  перпендикулярны и расположены указанным образом и  $u_i = u_i(t_f, t_i)$ . Символы на графике обозначают следующие точки:  $\square t_i = 0$ ,  $\blacksquare t_i = T/4$ ,  $\circ t_i = T/2$ ,  $\bullet t_i = 3T/4$ .

## V.

Будем считать  $t_i$  фиксированным. Определим в пространстве конечных импульсов  $\mathbf{k}$  (рис. 4) декартову систему координат  $k_x k_y k_z$ . Эти координаты отмеряются от начала системы  $xyz$  соответственно вдоль осей. Введем также систему координат  $k_{x'} k_{y'} k_{z'}$  с началом в точке  $\mathbf{k}_a(t_i)$ . Ось  $k_{y'}$  направим вдоль вектора

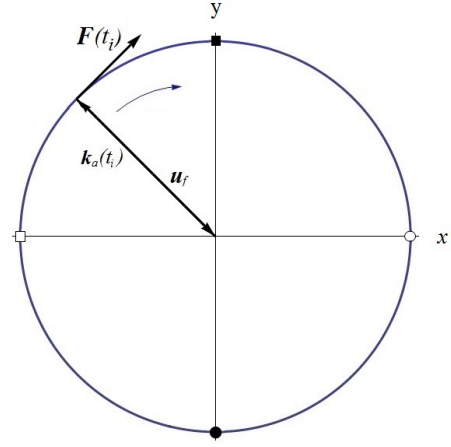


Рис. 4. На рисунке изображен годограф вектора  $\mathbf{k}_a(t_i)$ . Вектор  $\mathbf{u}_f$  отложен от конца вектора  $\mathbf{k}_a(t_i)$ , и в сумме с ним дает нулевой вектор. Символы на графике обозначают следующие точки:  $\square t_i = 0$ ,  $\blacksquare t_i = T/4$ ,  $\circ t_i = T/2$ ,  $\bullet t_i = 3T/4$ .

$\mathbf{u}_f$ . ось  $k_{x'}$  направим вдоль вектора  $-\mathbf{F}(t_i)$ . Ось  $k_{z'}$  направлена из глубины рисунка, так что оси  $k_{x'} k_{y'} k_{z'}$  образуют правую тройку.

Конечные скорости перерассеянных электронов лежат на сфере радиуса  $u_f$  с центром в  $\mathbf{k}_a(t_i)$ . Сечение этой сферы плоскостью  $k_{x'} k_{y'}$  показано на рис. 5.

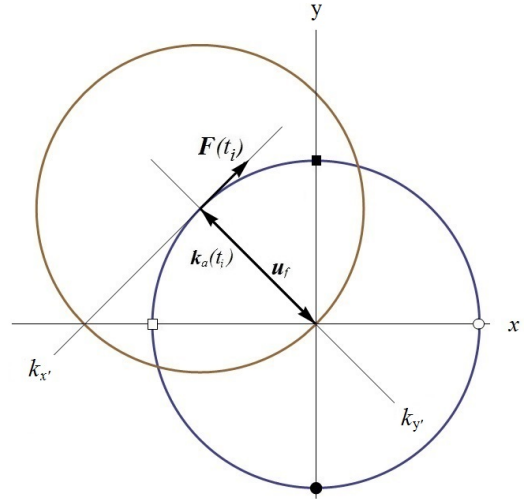


Рис. 5.

Положение точки на этой сфере определим сферическими углами  $\theta'$  и  $\varphi'$ . С другой стороны, положение той же точки можно определить, задав ее координату  $k_{z'}$  и величину  $k_\rho = \sqrt{k^2 - k_{z'}^2}$ , где  $k$  - расстояние от точки до начала координат системы  $xyz$ . Надо учитывать следующие соотношения:

$$k_{z'} = k_z \quad (44a)$$

$$k_\rho = \sqrt{k_{x'}^2 + (u_f - k_{y'})^2} = \sqrt{k_x^2 + k_y^2} \quad (44b)$$

$$k = \sqrt{k_{x'}^2 + (u_f - k_{y'})^2 + k_{z'}^2} = \sqrt{k_x^2 + k_y^2 + k_z^2}. \quad (44c)$$

Координаты  $k_{z'}$  и  $k_\rho$  связаны с углами  $\theta'$  и  $\varphi'$  следующим образом:

$$k_{z'} = u_f \sin \theta' \sin \varphi', \quad (45a)$$

$$k_\rho^2 = (u_f - k_{y'})^2 + k_{x'}^2 = u_f^2 [(1 - \cos \theta')^2 + \sin^2 \theta' \cos^2 \varphi']. \quad (45b)$$

Выразим  $\cos \theta'$  и  $\sin \varphi'$  через координаты  $k_\rho$  и  $k_{z'}$  из уравнений (44):

$$\cos \theta' = 1 - \frac{k^2}{2u_f^2}, \quad (46a)$$

$$\sin \varphi' = \frac{k_{z'}}{u_f \sin \theta'} = \frac{k_{z'}}{u_f \sqrt{1 - \left(1 - \frac{k^2}{2u_f^2}\right)^2}}. \quad (46b)$$

Пусть  $P(\theta')$  задает плотность распределения перерассеянных электронов на сфере:

$$\int P(\theta') \sin \theta' d\theta' d\varphi' = 1. \quad (47)$$

С другой стороны:

$$2 \int P(\theta'(k_\rho, k_{z'})) \sin \theta'(k_\rho, k_{z'}) J dk_\rho dk_{z'} = 1, \quad (48)$$

где  $J$  - якобиан перехода:

$$J = \frac{\partial(\theta', \varphi')}{\partial(k_\rho, k_{z'})}. \quad (49)$$

Интеграл (48) считается дважды, так как заданные координаты  $k_\rho$  и  $k_{z'}$  соответствуют двум точкам на сфере. Эти точки симметричны относительно плоскости  $k_{y'}, k_{z'}$ . Как следствие, любая функция от  $\theta'$  принимает в них одинаковые значения. Используя (46), получим:

$$J = \frac{4k_\rho u_f}{k \sqrt{4u_f^2 - k^2} \sqrt{4u_f^2 k_\rho^2 - k^4}}, \quad (50)$$

$$\sin \theta' = \frac{k}{2u_f^2} \sqrt{4u_f^2 - k^2}. \quad (51)$$

Запишем (48) в виде

$$\int \tilde{P}(k_\rho, k_{z'}) 2\pi k_\rho dk_\rho dk_{z'} = 1, \quad (52)$$

$$\tilde{P}(k_\rho, k_{z'}) = \frac{2P(\theta'(k_\rho, k_{z'}))}{\pi u_f \sqrt{4u_f^2 k_\rho^2 - k^4}}. \quad (53)$$

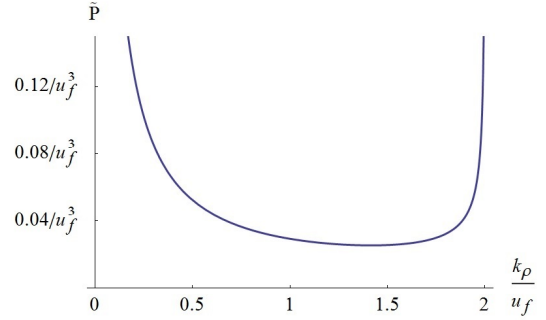


Рис. 6. На графике изображено распределение  $\tilde{P}(k_\rho, k_{z'})$  при  $k_{z'} = 0$  при равномерной плотности распределения  $P = \frac{1}{4\pi}$ .

## VI.

Адиабатический вклад описывается амплитудой

$$I_a(\mathbf{k}) = e^{i\pi/4} (2\pi)^{1/2} \frac{A_0(\mathbf{k}_\perp; t_i)}{F(t_i)^{1/2}} \exp[i\mathcal{S}(t_i, \mathbf{k}) - i s_0(t_i)]. \quad (54)$$

Вектор  $\mathbf{k}_\perp$  - это начальная скорость электрона в момент ионизации. Он имеет начало в точке  $\mathbf{k}_a(t_i)$  и лежит в плоскости, перпендикулярной вектору  $\mathbf{F}(t_i)$  (рис. 4). Амплитуда распределения поперечной скорости электрона  $A(\mathbf{k}_\perp; t_i)$  задается уравнением

$$A(\mathbf{k}_\perp; t_i) = \frac{2^{3/2} \pi i}{F(t_i)^{1/2}} \Phi\left(\frac{\mathbf{k}_\perp^2}{F(t_i)}, \varphi_k\right). \quad (\text{gamas31})$$

В рассматриваемом случае амплитуда поля постоянна, поэтому  $F(t_i) = F$ :

$$A(\mathbf{k}_\perp; t_i) = A(\mathbf{k}_\perp) = \frac{2^{3/2} \pi i}{F^{1/2}} \Phi\left(\frac{\mathbf{k}_\perp^2}{F}, \varphi_k\right). \quad (55)$$

Здесь:

$$\Phi\left(\frac{\mathbf{k}_\perp^2}{F}, \varphi_k\right) = f_{00} \Phi_{00}\left(\frac{\mathbf{k}_\perp^2}{F}, \varphi_k\right). \quad (56)$$

Первый множитель в этом уравнении:

$$f_{00} = \varkappa^{1/2} \left( \frac{4\varkappa^2}{F} \right)^{\beta_{00}^{(0)}/\varkappa} \times \exp \left[ \frac{i\pi}{4} + \frac{i\pi\beta_{00}^{(0)}}{\varkappa} - \frac{\varkappa^3}{3F} \right]. \quad (\text{gamas57})$$

После подстановки

$$\beta_{00}^{(0)} = 1 - \varkappa/2, \quad (\text{gamas35a})$$

$$E_0 = -1/2, \quad \varkappa = \sqrt{2|E_0|} = 1 \quad (57)$$

получим:

$$f_{00} = \frac{2}{F^{1/2}} \times \exp \left[ \frac{3i\pi}{4} - \frac{1}{3F} \right]. \quad (58)$$

Второй множитель:

$$\Phi_{00} \left( \frac{\mathbf{k}_{\perp}^2}{F}, \varphi_k \right) = \phi_{00} \left( \frac{\mathbf{k}_{\perp}^2}{F} \right) \frac{1}{\sqrt{2\pi}}, \quad (\text{gamas11})$$

где

$$\phi_{00}^{(0)} \left( \frac{\mathbf{k}_{\perp}^2}{F} \right) = \exp \left[ -\frac{\mathbf{k}_{\perp}^2}{2F} \right]. \quad (\text{gamas35b})$$

Таким образом:

$$A(\mathbf{k}_{\perp}) = \frac{2^{3/2}\pi i}{F^{1/2}} \frac{2}{F^{1/2}} \frac{1}{\sqrt{2\pi}} \times \exp \left[ \frac{3i\pi}{4} - \frac{1}{3F} \right] \times \exp \left[ -\frac{\mathbf{k}_{\perp}^2}{2F} \right] \quad (59)$$

Упростив, получим:

$$A(\mathbf{k}_{\perp}) = \frac{4\pi^{1/2}}{F} \times \exp \left[ -\frac{3i\pi}{4} - \frac{1}{3F} - \frac{\mathbf{k}_{\perp}^2}{2F} \right]. \quad (60)$$

Отсюда и из уравнения (54) следует выражение для амплитуды  $I_a(\mathbf{k})$ :

$$I_a(\mathbf{k}) = \frac{2^{5/2}\pi}{F^{3/2}} \exp[iS(t_i, \mathbf{k}) - is_0(t_i)] \times \exp \left[ -\frac{i\pi}{2} - \frac{1}{3F} - \frac{\mathbf{k}_{\perp}^2}{2F} \right]. \quad (61)$$

Квадрат амплитуды:

$$|I_a(\mathbf{k})|^2 = \frac{32\pi^2}{F^3} \exp \left[ -\frac{2}{3F} - \frac{\mathbf{k}_{\perp}^2}{F} \right]. \quad (62)$$

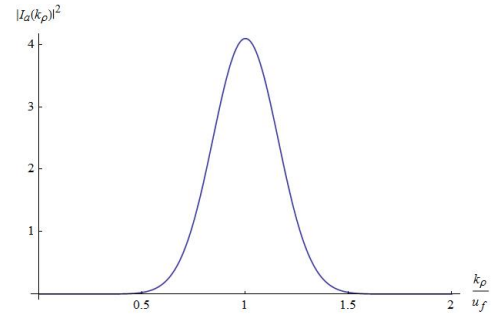


Рис. 7. График квадрата амплитуды  $|I_a(\mathbf{k})|^2$  при  $F = 0.05$ ,  $\omega = 0.05$ .

## VII.

Вклад в амплитуду ионизации от перерассеянных электронов задается уравнениями frp(117-118), где вместо волновой функции стоит ее часть  $\psi_r(\mathbf{r}, t)$ :

$$\psi_r(\mathbf{r}, t) = \frac{-i}{2\pi} \sum_i \frac{A_0(\mathbf{u}_i(t, t_i); t_i)}{|(t - t_i)^3 F(t_i)|^{1/2}} \varphi(\mathbf{r}; \mathbf{u}_f(t)) \times \exp[-iS(t, t_i, \mathbf{u}_i(t, t_i)) - is_0(t_i)]. \quad (63)$$

В уравнении (63) зависимость от радиус-вектора  $\mathbf{r}$  обуславливает только множитель  $\varphi(\mathbf{r}; \mathbf{u}_f(t))$ . В рассматриваемой задаче нас интересует его асимптотика:

$$\varphi(\mathbf{r}; \mathbf{u}_f(t)) \Big|_{r \rightarrow \infty} = e^{i\mathbf{u}_f \mathbf{r}} + f(\mathbf{u}_f, \mathbf{n}) \frac{e^{iu_i(t, \mathbf{k})r}}{r}, \quad (64)$$

где  $\mathbf{n} = \mathbf{r}/r$ ,  $\mathbf{u}_f$  - скорость налетающего электрона,  $\mathbf{u}_i(t, \mathbf{k})$  - скорость электрона сразу после перерассеяния. В силу закона сохранения энергии:  $\mathbf{u}_f^2 = \mathbf{u}_i^2(t, \mathbf{k})$ . Приведем промежуточные вычисления:

$$\nabla \varphi(\mathbf{r}; \mathbf{u}_f(t)) = i\mathbf{u}_f e^{i\mathbf{u}_f \mathbf{r}} + i\mathbf{u}_i(t, k) \mathbf{n} f(\mathbf{u}_f, \mathbf{n}) \frac{e^{iu_i(t, k)r}}{r} \quad (65)$$

$$\nabla e^{-iS(\mathbf{r}, t; \mathbf{k})} = -i\mathbf{u}_i(t, \mathbf{k}) e^{-iS(\mathbf{r}, t; \mathbf{k})} \quad (66)$$

Запишем вклад в амплитуду ионизации от перерассеянных электронов в виде интеграла по  $d\mathbf{\Sigma}$  и  $dt$ :

$$I_r(\mathbf{k}) = \int_{-\infty}^{\infty} dt \int_{\Sigma} \mathbf{j}(\mathbf{r}, t) d\mathbf{\Sigma}, \quad (\text{frp117})$$

где

$$\mathbf{j}(\mathbf{r}, t) = \frac{-i}{2} [e^{-iS(\mathbf{r}, t; \mathbf{k})} \nabla \psi_r(\mathbf{r}, t) - \psi_r(\mathbf{r}, t) \nabla e^{-iS(\mathbf{r}, t; \mathbf{k})}]. \quad (\text{frp118})$$

Окончательное выражения для амплитуды:

$$\begin{aligned}
I_r(\mathbf{k}) = & \frac{1}{2\pi} \int_{-\infty}^{\infty} dt \sum_i \frac{A_0(\mathbf{u}_i(t, t_i); t_i)}{(t - t_i)^3 |F(t_i)|^{1/2}} \\
& \times \exp[-iS(t, t_i, \mathbf{u}_i(t, t_i)) - is_0(t_i) + iS(t, \mathbf{k})] \\
& \times \int_{\Sigma} e^{-i\mathbf{u}_i(t, \mathbf{k})\mathbf{r}} \times \left[ [\mathbf{u}_f + \mathbf{u}_i(t, \mathbf{k})] e^{i\mathbf{u}_f\mathbf{r}} \right. \\
& \left. + [u_i(t, k)\mathbf{n} + \mathbf{u}_i(t, \mathbf{k})] f(\mathbf{u}_f, \mathbf{n}) \frac{e^{iu_i(t, k)r}}{r} \right] d\mathbf{\Sigma}.
\end{aligned} \tag{67}$$

Интегрирование по поверхности проведем с помощью выражения

$$e^{i\mathbf{k}\mathbf{r}} \Big|_{r \rightarrow \infty} = \frac{2\pi}{ikr} \left[ e^{ikr} \delta\left(\frac{\mathbf{r}}{r} - \frac{\mathbf{k}}{k}\right) - e^{-ikr} \delta\left(\frac{\mathbf{r}}{r} + \frac{\mathbf{k}}{k}\right) \right]. \tag{68}$$

Скорость  $\mathbf{u}_i(t, \mathbf{k})$  в промежуточных выкладках будем писать без аргументов. Поверхностью интегрирования выбирается сфера радиуса  $r$ . Интеграл от первого слагаемого в больших скобках в уравнении (67) равен нулю:

$$\begin{aligned}
& \int_{\Sigma} [\mathbf{u}_f + \mathbf{u}_i] e^{i\mathbf{u}_f\mathbf{r}} e^{-i\mathbf{u}_i\mathbf{r}} d\mathbf{\Sigma} = \\
& \int_{\Sigma} [\mathbf{u}_f + \mathbf{u}_i] \cdot \frac{2\pi}{i|\mathbf{u}_f - \mathbf{u}_i|r} \times \left[ e^{i|\mathbf{u}_f - \mathbf{u}_i|r} \delta\left(\frac{\mathbf{r}}{r} - \frac{\mathbf{u}_f - \mathbf{u}_i}{|\mathbf{u}_f - \mathbf{u}_i|}\right) \right. \\
& \left. - e^{-i|\mathbf{u}_f - \mathbf{u}_i|r} \delta\left(\frac{\mathbf{r}}{r} + \frac{\mathbf{u}_f - \mathbf{u}_i}{|\mathbf{u}_f - \mathbf{u}_i|}\right) \right] r^2 d\mathbf{n} \\
& = \frac{2\pi r}{i|\mathbf{u}_f - \mathbf{u}_i|} \left[ \left( \mathbf{u}_f + \mathbf{u}_i, \frac{\mathbf{u}_f - \mathbf{u}_i}{|\mathbf{u}_f - \mathbf{u}_i|} \right) e^{i|\mathbf{u}_f - \mathbf{u}_i|r} \right. \\
& \left. - \left( \mathbf{u}_f + \mathbf{u}_i, -\frac{\mathbf{u}_f - \mathbf{u}_i}{|\mathbf{u}_f - \mathbf{u}_i|} \right) e^{-i|\mathbf{u}_f - \mathbf{u}_i|r} \right] \\
& = \frac{2\pi r(\mathbf{u}_f^2 - \mathbf{u}_i^2)}{i|\mathbf{u}_f - \mathbf{u}_i|^2} \left( e^{i|\mathbf{u}_f - \mathbf{u}_i|r} + e^{-i|\mathbf{u}_f - \mathbf{u}_i|r} \right) = 0.
\end{aligned} \tag{69}$$

Проинтегрируем второе слагаемое:

$$\begin{aligned}
& \int_{\Sigma} [u_i\mathbf{n} + \mathbf{u}_i] f(\mathbf{u}_f, \mathbf{n}) \frac{e^{iu_i r}}{r} \cdot \frac{2\pi}{iu_i r} \\
& \times \left[ e^{iu_i r} \delta\left(\frac{\mathbf{r}}{r} + \frac{\mathbf{u}_i}{u_i}\right) - e^{-iu_i r} \delta\left(\frac{\mathbf{r}}{r} - \frac{\mathbf{u}_i}{u_i}\right) \right] r^2 d\mathbf{n} \\
& = -4\pi i \cdot f\left(\mathbf{u}_f, \frac{\mathbf{u}_i}{u_i}\right).
\end{aligned} \tag{70}$$

Таким образом, мы получили выражение для  $I_r(\mathbf{k})$  через интеграл по времени. Учтем, что  $F(t_i) = F$ , и  $\omega(t - t_i) = \xi_i$ :

$$\begin{aligned}
I_r(\mathbf{k}) = & -2i \int_{-\infty}^{\infty} dt \sum_i \frac{A_0(\mathbf{u}_i(t, t_i); t_i) \omega^3}{\xi_i^3 F^{1/2}} \cdot f\left(\mathbf{u}_f, \frac{\mathbf{u}_i(t, \mathbf{k})}{u_i(t, \mathbf{k})}\right) \\
& \times \exp[-iS(t, t_i, \mathbf{u}_i(t, t_i)) - is_0(t_i) + iS(t, \mathbf{k})]
\end{aligned} \tag{71}$$

Амплитуда распределения поперечной скорости электрона  $A_0(\mathbf{u}_i(t, t_i); t_i)$  не зависит ни от конечной скорости, ни от времени.

Показатель экспоненты содержит три разных действия:

$$S(t, t_i, \mathbf{u}_i(t, t_i)) = \frac{1}{2} \int_{t_i}^t \mathbf{u}_f^2(t', t_i, \mathbf{u}_i) dt', \tag{72}$$

$$S(t, \mathbf{k}) = \frac{1}{2} \mathbf{k}^2 t + \frac{1}{2} \int_0^t [\mathbf{u}_i^2(t', \mathbf{k}) - \mathbf{k}^2] dt', \tag{73}$$

$$s_0(t_i) = E_0 t_i. \tag{74}$$

Проинтегрируем (72):

$$\mathbf{u}_f^2(t', t_i, \mathbf{u}_i) = \frac{F^2}{\omega^2} \left[ 1 - \frac{2}{\xi'} \sin \xi' + \frac{2}{\xi'^2} [1 - \cos \xi'] \right], \tag{75}$$

где  $\xi' = \omega(t' - t_i)$ .

$$S(t, t_i, \mathbf{u}_i(t, t_i)) = \frac{1}{2} \int_0^{\xi_i} \mathbf{u}_f^2(\xi') \frac{d\xi'}{\omega}. \tag{76}$$

$$\begin{aligned}
S(t, t_i, \mathbf{u}_i(t, t_i)) &= \frac{F^2}{\omega^3} \left( \frac{\xi_i}{2} + \cos \xi_i - 1 \right) \\
&= \frac{F^2}{\omega^3} (51.8728 + 27.4987i).
\end{aligned} \tag{77}$$

Вычислим действие (73):

$$\begin{aligned}
S(t, \mathbf{k}) &= \frac{1}{2} \mathbf{k}^2 t + \frac{1}{2} \int_0^t [\mathbf{u}_i^2(t', \mathbf{k}) - \mathbf{k}^2] dt' \\
&= \frac{1}{2} \int_0^t \mathbf{u}_i^2(t', \mathbf{k}) dt'.
\end{aligned} \tag{78}$$

Согласно frp(26):

$$\begin{aligned}
\mathbf{u}_i(t', \mathbf{k}) &= \mathbf{k} - \mathbf{v}_{\infty} + \mathbf{v}(t_i) \\
&= \mathbf{k} + \frac{F}{\omega} \begin{pmatrix} \cos \omega t_i \\ -\sin \omega t_i \\ 0 \end{pmatrix}.
\end{aligned} \tag{79}$$

Квадрат скорости:

$$\mathbf{u}_i^2(t', \mathbf{k}) = \mathbf{k}^2 + \frac{F^2}{\omega^2} + \frac{2F}{\omega} [k_x \cos(\omega t - \xi_i) - k_y \sin(\omega t - \xi_i)]. \quad (80)$$

$$S(t, \mathbf{k}) = \frac{1}{2} \mathbf{k}^2 t + \frac{F^2}{2\omega^2} t + \frac{2Ft}{\omega^2} [k_x \sin(\omega t - \xi_i) + k_y \cos(\omega t - \xi_i)]. \quad (81)$$

Посчитаем интеграл (71) для  $\xi = \xi_0$ :

$$\begin{aligned} I_r(\mathbf{k}) &= \frac{8\pi^{1/2}\omega^3}{F^{3/2}\xi^3} f(u_f, \theta) \\ &\times \exp \left[ iE_0 T - \frac{1}{3F} - \frac{F}{2\omega^2} + \frac{3i\pi}{4} - \frac{iF^2 T}{2\omega^2} \right] \\ &\times \int_0^{2\pi} dt \exp \left[ i \left( \frac{F^2}{2\omega^2} + \frac{\mathbf{k}^2}{2} - E_0 \right) t + i\mathbf{k} \frac{F}{\omega^2} \begin{pmatrix} \sin \omega t \\ \cos \omega t - 1 \\ 0 \end{pmatrix} \right]. \end{aligned} \quad (82)$$

Проинтегрировав и воспользовавшись равенством для функции Бесселя  $J_\nu(-z) = e^{i\pi\nu} J_\nu(z)$ , получим:

$$\begin{aligned} I_r(\mathbf{k}) &= \frac{8\pi^{1/2}}{F^{3/2}T^3} f(u_f, \theta) \\ &\times \exp \left[ iE_0 T - \frac{1}{3F} - \frac{F}{2\omega^2} + \frac{3i\pi}{4} - \frac{iF^2 T}{2\omega^2} \right] \\ &\times \frac{2\pi}{\omega} J_\nu \left( \frac{Fk_\rho}{\omega^2} \right) \cdot \exp \left[ i\pi\nu - i\xi\nu - \frac{ik_y F}{\omega^2} \right], \end{aligned} \quad (83)$$

где использованы обозначения:

$$\nu = \frac{F^2}{2\omega^3} + \frac{\mathbf{k}^2}{2\omega} - \frac{E_0}{\omega}, \quad (84)$$

$$\xi = \arccos \frac{k_x}{k_\rho}. \quad (85)$$

Квадрат модуля амплитуды:

$$\begin{aligned} |I_r(\mathbf{k})|^2 &= \frac{128\pi^2 |f(u_f, \theta)|^2}{\omega F^3 T^6} \exp \left[ -\frac{2}{3F} - \frac{F}{\omega^2} \right] \\ &\times \left| J_\nu \left( \frac{Fk_\rho}{\omega^2} \right) \right|^2. \end{aligned} \quad (86)$$

Угол рассеяния, входящий в выражение (86), является вершинным углом равнобедренного треугольника со сторонами  $\mathbf{u}_f$ ,  $\mathbf{u}_i(t, \mathbf{k})$ ,  $\mathbf{k}$  и может быть выражен через конечную скорость электрона:

$$\cos \theta = 1 - \frac{k^2 \omega^2}{2F^2} \quad (87)$$

Если аргумент функции Бесселя меньше, чем ее порядок  $\nu$ , то выполняется неравенство

$$\frac{F^2}{2\omega^3} + \frac{k^2}{2\omega} - \frac{E_0}{\omega} > \frac{Fk_\rho}{\omega^2}, \quad (88)$$

Пусть  $k_z = 0$ :

$$k_\rho^2 - \frac{2F}{\omega} k_\rho + \frac{F^2}{\omega^2} - 2E_0 > 0, \quad (89)$$

$$\left( k_\rho - \frac{F}{\omega} \right)^2 - 2E_0 > 0. \quad (90)$$

Последнее неравенство выполнено при всех  $k_\rho$ , так как  $-2E_0 > 0$ .

Исследуем асимптотики функции  $|I_r(\mathbf{k})|^2$ . При  $\omega \rightarrow 0$  порядок функции Бесселя является большим числом. Модуль конечной скорости  $k = O(\omega^{-1})$ . Заметим теперь, что если аргумент функции Бесселя представить в виде  $\frac{Fk}{\omega^2} = \nu z$ , где  $z$  - некая функция, то справедливо утверждение об области значений этой функции:  $z \in [0, 1]$ . Для такого случая справедливо асимптотическое выражение (Дж.Н.Ватсон. Теория бесселевых функций, глава VIII, §8.11):

$$J_\nu(\nu z) \approx \frac{z^\nu \exp[\nu \sqrt{1-z^2}]}{(2\pi\nu)^{\frac{1}{2}} (1-z^2)^{\frac{1}{4}} (1+\sqrt{1-z^2})^\nu}. \quad (91)$$

В случае малых  $k$ :

$$z \approx \frac{2k\omega}{F}, \quad (92)$$

В случае  $k = 2F/\omega$ :

$$z = \frac{4}{5 + \frac{\omega^2}{F^2}}. \quad (93)$$